

Distribution des feux disséminés d'un incendie de forêt

Ahmed Chahlaoui

Plan

- 1 Définition
- 2 Problématique
- 3 Étapes de la modélisation
 - Variables aléatoires et Lancement
 - Étude mécanique et Atterrissage
 - Étude thermodynamique et Ignition
- 4 Expérience
- 5 Conclusion

Définition

Dissémination des feux:

Les feux disséminés sont les foyers d'incendie allumés lorsque des tisons ou des étincelles produits par un incendie sont transportés par le vent de surface au-delà des limites du foyer principal.



Figure: Dissémination des feux

Comment se distribuent les feux disséminés d'une incendie de forêt?

Nécessité d'un modèle stochastique:

- le modèle doit prédire un seul aspect de l'incendie
- le modèle doit être stochastique
- le modèle doit être évalué par des méthodes statistiques

Hypothèses du modèle:

- Le terrain de propagation est horizontal de composition équirépartie
- Les interactions feu-atmosphère sont négligées
- La rotation des colonnes de convection est négligée
- régime quasi-stationnaire de la propagation de l'incendie

Modélisation

Données issus de l'observation du milieu et de l'incendie

- Température T_f (généralement entre 1000 K et 1500 K)
- Vitesse de propagation v_f (généralement entre 3m/s et 6m/s)
- vitesse du vent $w(z, t)$
- Composition du milieu

Modélisation

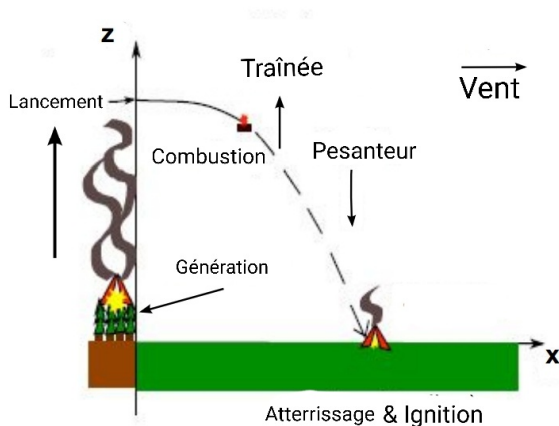


Figure: Schéma de la dissémination des feux

Modélisation

Distributions

les étapes majeurs de la modélisation sont:

- 1 déterminer une distribution du lancement $\mathcal{L}(z, m)$
- 2 déterminer une distribution d'atterrissage $\mathcal{A}(x)$
- 3 déterminer une distribution d'ignition $\mathcal{I}(x)$

Modélisation

Variables aléatoires

- M_0 : masse initiale de la particule
- Z_0 : altitude initiale de la particule
- F_0 : forme de la particule
- \mathcal{C} : composition de la particule en fonction des constituants du milieu

Modélisation

Masse initiale

- M_0 à valeurs dans $[0, \infty]$
- On adopte la fonction a densité: $\mu(m) = \alpha e^{-\alpha m}$
- Avec α un paramètre empirique
- Pour $m_1 \leq m_2$ dans $[0, \infty]$:

$$\mathbb{P}(m_1 \leq M_0 \leq m_2) = \int_{m_1}^{m_2} \mu(m) dm$$

Modélisation

Altitude initiale

- On adopte un modèle où Z_0 est indépendante de M_0
- Z_0 à valeurs dans $[0, \infty[$
- On adopte la fonction à densité : $\psi(z) = \lambda e^{-\lambda z}$
- Avec λ un paramètre empirique
- Pour $z_1 \leq z_2$ dans $[0, \infty[$:

$$\mathbb{P}(z_1 \leq Z_0 \leq z_2) = \int_{z_1}^{z_2} \psi(z) dz$$

Modélisation

La distribution du lancement

on adopte la distribution suivante:

$$\mathcal{L}(z, m) = \psi(z)\mu(m)$$

$$\mathbb{P}(z_1 \leq Z_0 \leq z_2, m_1 \leq M_0 \leq m_2) = \int_{z_1}^{z_2} \int_{m_1}^{m_2} \mathcal{L}(z, m) dm dz$$

Modélisation

Forme de la particule

On assimile les particules a des formes cylindriques ou sphériques.

$$F_0 = \begin{cases} 1 & \text{si la particule est sphérique} \\ 0 & \text{si la particule est cylindrique} \end{cases}$$

Le coefficient de traînée est donné par:

$$C_d = 0.47F_0 + 0.82(1 - F_0)$$

Modélisation

Composition de la particule

Supposons que le milieu est composé de N substances avec des titres massiques $(x_i)_{1 \leq i \leq n}$.

La probabilité que la particule soit formée de la matière i est:

$$\mathbb{P}(C = i) = x_i$$

Modélisation

Composition de la particule

Pour une grandeur A dépendante du constituant (e.g. masse volumique, capacité calorifique massique,...)

$$A = \sum_{i=1}^N a_i L_i(C)$$

- $(a_i)_{1 \leq i \leq N}$ grandeurs associés aux constituants
- $(L_i)_{1 \leq i \leq N}$ suite de polynômes de Lagrange associées a la famille $\{1, 2, \dots, N\}$

Modélisation

Étude mécanique de la particule lancée

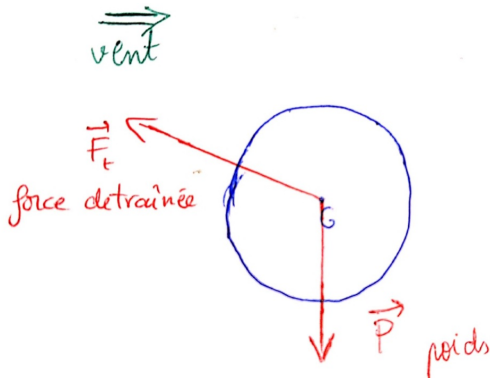


Figure: Bilan des forces agissantes sur la particule dans le référentiel lié au front de l'incendie

Modélisation

Étude mécanique de la particule lancée

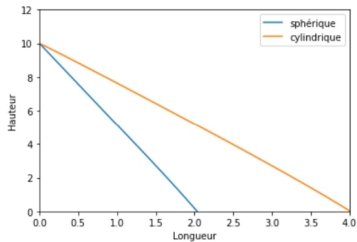
Dans le référentiel galiléen lié au front de l'incendie, on applique le principe fondamental de la dynamique:

$$\frac{d\overrightarrow{p}(t)}{dt} = m(t)\overrightarrow{g} - \frac{1}{2}\rho C_d A(t) \|\overrightarrow{v}(t) - \overrightarrow{w}(z, t) + \overrightarrow{v}_f\| (\overrightarrow{v}(t) - \overrightarrow{w}(z, t) + \overrightarrow{v}_f)$$

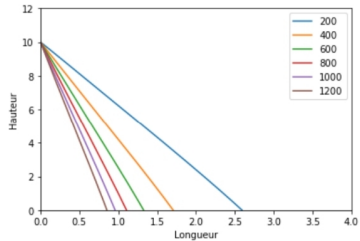
Modélisation

Étude mécanique de la particule lancée

- la masse de la particule: $m(t)$
- la surface de la particule $A(t)$
- la masse volumique de la particule ρ
- le coefficient de traînée C_d
- la vitesse du vent $\vec{w}(z, t)$ par rapport au référentiel terrestre



(a) La forme



(b) La masse volumique

Figure: Nécessité de l'introduction des variables aléatoires

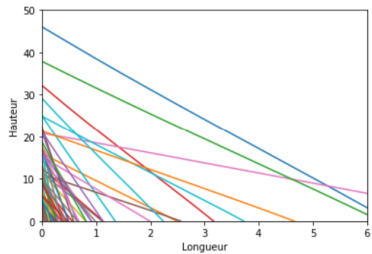
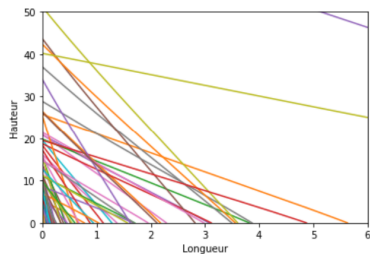
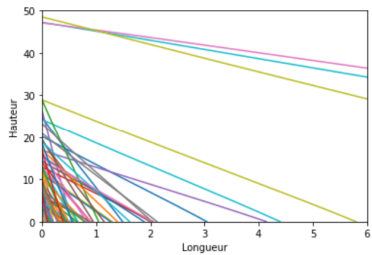
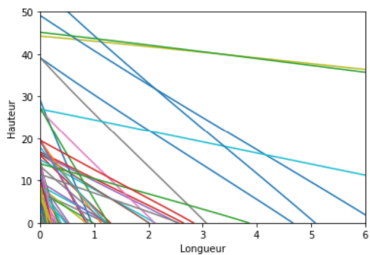


Figure: Simulation avec 100 particules

Modélisation

Étude thermodynamique sur la particule lancée

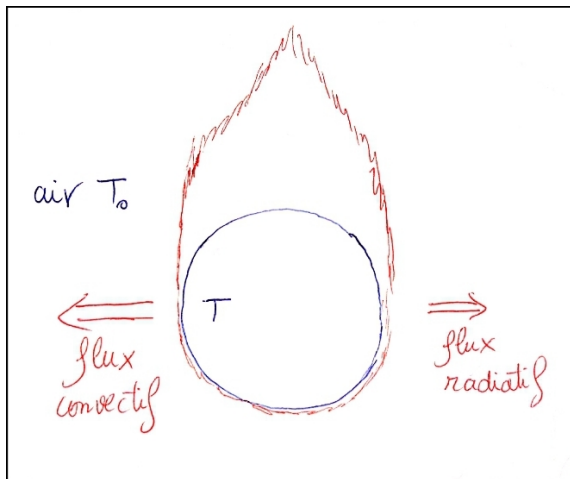


Figure: Bilan thermique sur la la particule lancée

Modélisation

Étude thermodynamique sur la particule lancée

La particule lancée, lors de sa chute, est soumise aux flux convectifs et radiatifs.

D'après le premier principe de la thermodynamique:

$$m(t)C_p \frac{dT}{dt} = -A(t) \left(\underbrace{\sigma \epsilon (T^4 - T_0^4)}_{\text{radiatif}} + \underbrace{h(T - T_0)}_{\text{convectif}} \right)$$

Étude thermodynamique sur la particule lancée

- C_p : capacité calorifique massique
- σ : constante de Stefan-Boltzmann ($5.67 \cdot 10^{-8} \text{ Wm}^{-2} \text{ K}^{-4}$)
- ϵ : émissivité (entre 0 et 1)
- h : coefficient de transfert thermique
- T_0 : Température ambiante

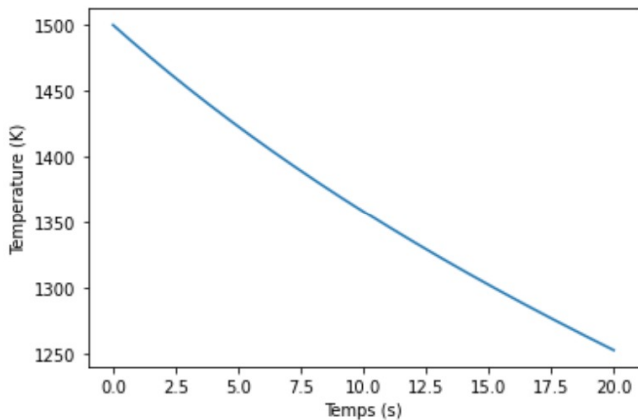


Figure: Évolution de la température de la particule lancée

Modélisation

Équilibre thermodynamique avec le sol

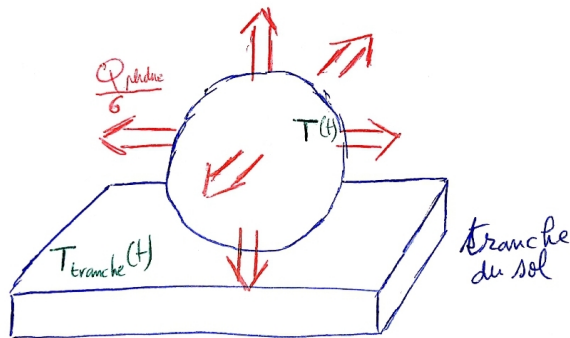


Figure: Bilan thermique sur la tranche du sol

Modélisation

Équilibre thermodynamique avec le sol

- Par isotropie, Une tranche du sol reçoit $\frac{1}{6}$ de la chaleur émise par la particule.

$$\forall t \geq t_{\text{arrivée}}$$

$$m_{\text{tranche}} c_{\text{sol}} \frac{dT_{\text{tranche}}}{dt} = -\frac{1}{5} m(t) C_p \frac{dT}{dt}$$

- Il y a ignition si $\exists t \geq t_{\text{arrivée}} \quad T_{\text{tranche}}(t) \geq T_{\text{ig}}$

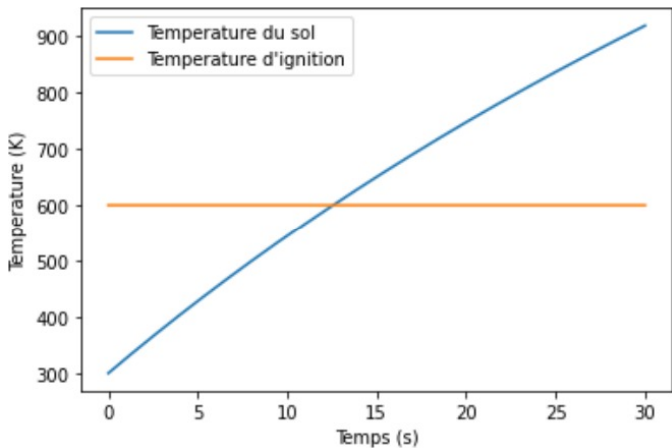


Figure: Ignition du sol

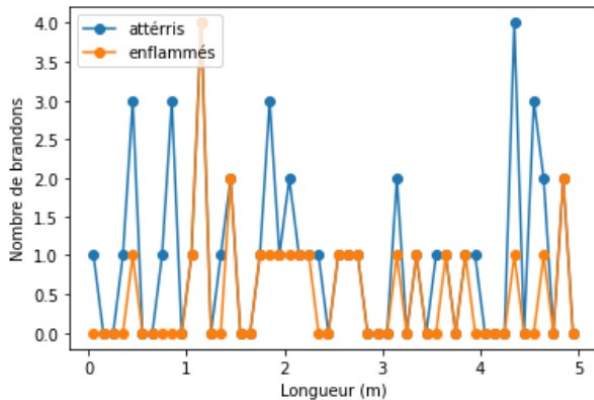
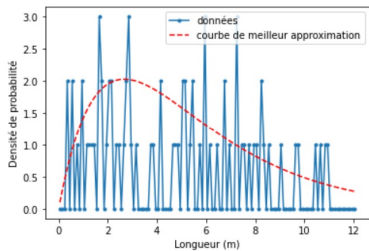
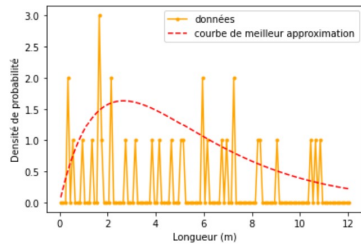


Figure: Atterrissage et Ignition



(a) L'atterrissage $y = 2.06xe^{-0.37x}$



(b) L'ignition $y = 1.68xe^{-0.37x}$

Expérience

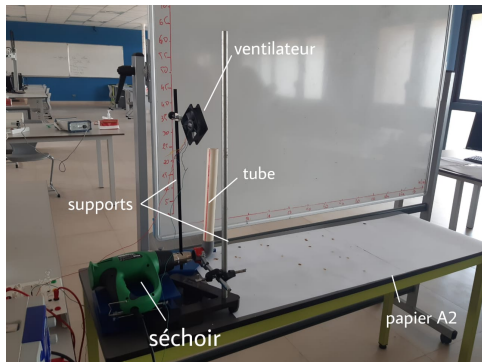


Figure: Montage expérimental

Expérience

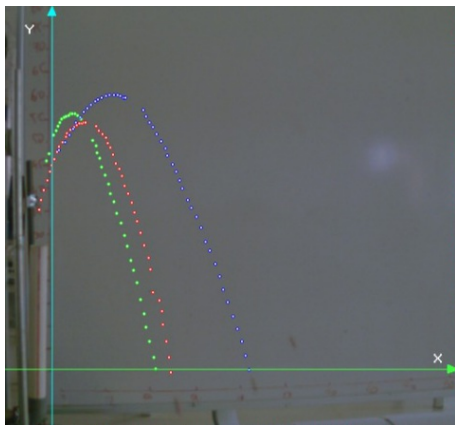


Figure: Trajectoire des particules

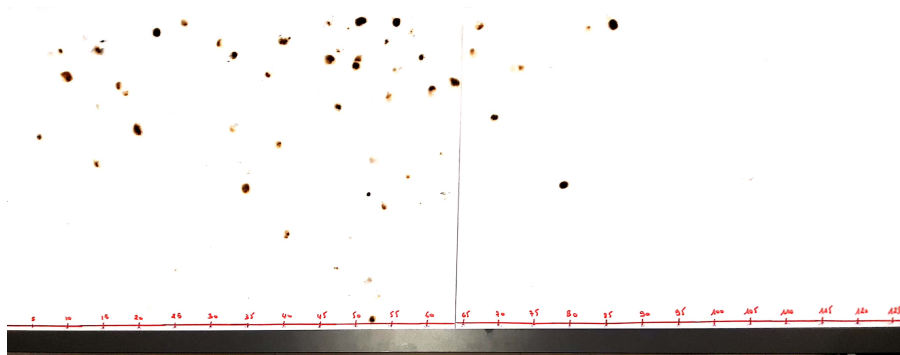


Figure: dissémination de 50 particules

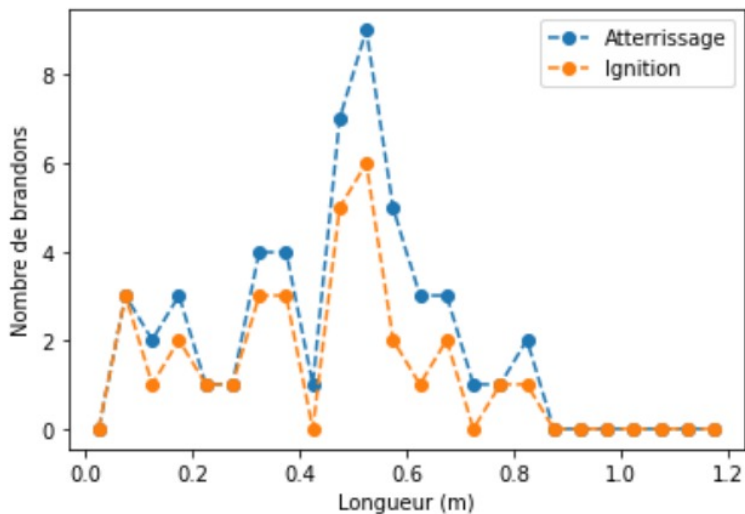


Figure: Résultats expérimentaux

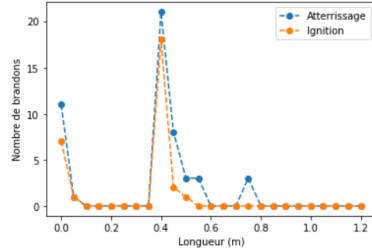
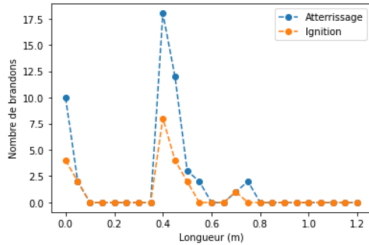
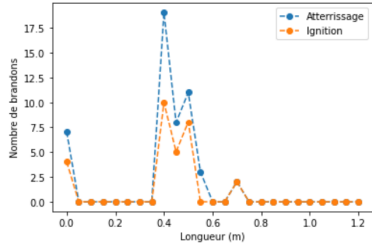
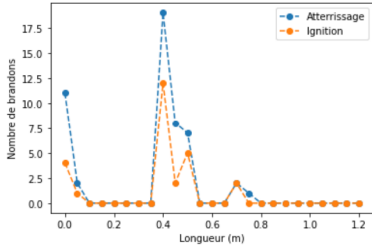


Figure: Résultats théoriques avec 50 particules

Conclusion

- Résultats expérimentaux et simulation
- Avantages du modèle
- Inconvénients du modèle

Annexe

Simulation

```
1 from scipy.integrate import odeint
2 from pylab import *
3 from random import *
4 #constantes
5 g = 9.8 #acceleration de la pesanteur
6 f = 0.0001 #taux de combustion
7 p = 1.225 #masse volumique de l'air
8 T0 = 300 #Temperature ambiante
9 Cp = 1400 #capacite thermique massique du papier
10 s = 5.67*10**(-8) #constante de steffan boltzmann
11 e = 0.9 #émissivité
12 h = 5 #coefficient de transfert thermique
13 T0=300 #Temperature ambiante
14 Tig = 600 #Temperature d'ignition du gazon
15 v_f = 1 #vitesse de propagation de l'incendie
16 L=[200, 600, 1000, 1300, 1800, 2200] #masses volumiques
17 Cp = [10,100,200,500,1000,2000] #capacites thermiques massiques
18 M = [[0.1*i+0.05,0,0] for i in range(1000)]
19 PP1, PP2 = [], []
20 mtot=0
21 for l in range(100):
22     #masse initiale
23     m0 = expovariate(1000)
24     #altitude initiale
25     z0 = expovariate(0.1)
26     #Composition
27     C0 = randrange(6)
28     r = L[C0]
29     Cp = L[C0]
30     #Forme
31     F0 = randrange(0,2)
32     #profile du vent quadratique
```

Annexe

Simulation

```
37     def wind(y):
38         return wxref*((y/yref)**k)
39     #position initiale
40     p0=[0,z0]
41     x = [p0[0]]
42     y = [p0[1]]
43     # vitesse initiale
44     v0 = [2,0]
45     vx=[v0[0]]
46     vy=[v0[1]]
47     w=[wind(p0[1]),wyref]
48     #masse du brandon
49     K1 = f*(4*pi*r)**(1/3)*(3**(-1/3))
50     K2 = f*m0**(2/3)*(r*pi/100)**(1/3)
51     def m(t):
52         return (m0-K2*t)*(1-F0)+(m0**(1/3)-K1*t)**(1/3)*F0
53     #derivee de la masse
54     def dm(t):
55         return -K2*(1-F0)-K1*F0*(m0**(1/3)-K1*t)**2
56     #surface du brandon
57     A0 = (pi/5*(100*m0)/(pi*r))**(2/3)*(1-F0)+4*pi*(((3*m0)/(4*pi*r))**(2/3))*F0
58     def A(t):
59         return A0*(m(t)/m0)*(1-F0)+F0*A0*(m(t)/m0)**(2/3)
60     #coefficient de trainee
61     Cd = 0.49*F0+0.82*(1-F0)
62     #Resolution de l'equation differentielle du mouvement
63     def fx(x,y,t):
64         return 1/m(t)*(-dm(t)*x-(0.5*p*Cd*A(t))*((x-w[0]+v_f)**2+(y-w[1])**2)**0.5)*(x-w[0]+v_f)
65     def fy(x,y,t):
66         return 1/m(t)*(-dm(t)*y-m(t)*g-(0.5*p*Cd*A(t))*((x-w[0]+v_f)**2+(y-w[1])**2)**0.5*(y-w[1]))
67     for i in range(0,1000):
68         t=linspace(0.1*i,0.1*(i+1),100)
69         vxi=vx[len(vx)-1]
70         vyi=vy[len(vy)-1]
71         for j in range(1,len(t)):
72             if m(t[j]) <= 0.00001 :
73                 break
```

Annexe

Simulation

```
74     a=(t[j]-t[j-1])*(fx(vxi,vyi,t[j]))+vxi
75     b=(t[j]-t[j-1])*(fy(vxi,vyi,t[j]))+vyi
76     vx.append(a)
77     vy.append(b)
78     c=x[len(x)-1]+a*(t[j]-t[j-1])+0.5*fx(vxi,vyi,t[j])*((t[j]-t[j-1])**2)
79     d=y[len(y)-1]+b*(t[j]-t[j-1])+0.5*fy(vxi,vyi,t[j])*((t[j]-t[j-1])**2)
80     if d<0:
81         tt=t[j]
82         break
83     x.append(c)
84     y.append(d)
85     vxi=a
86     vyi=b
87     if m(t[j]) <= 0.00001 :
88         break
89     if d<0:
90         tatt=t[j]
91         break
92     w[0]=wind(y[len(y)-1])
93     Bb= [tatt,x[-1]] #temps et position d'atterrissage
94     #Resolution des equations differentielles thermodynamiques
95     def model(T,t):
96         dTdt = -(A(t)/(m(t)*Cp))*(s*e**(T**4-T0**4)+h*(T-T0))
97         return dTdt
98     t = linspace(0,20,20000)
99     Ti=1500 #Temperature initiale du debris (de l'incendie aussi)
100     H =odeint(model,Ti,t) #Temperature du debris lancee
101     msol=1
102     csol = 0.00016 #capacite thermique massique du gazon
103     def Tdebris(t):
104         n= int(t/0.002)
105         return H[n][0]
106
107     Tdebrislist=[Tdebris(1) for l in t[:9001]]
```

Annexe

Simulation

```
109     def model2(Ts,t):
110         dTsdT= A/(t+tatt)/(msol*csol*5)*(s*e*(Tdebris(t+tatt)**4-T0**4)+h*(Tdebris(t+tatt)-T0))
111         return dTsdT
112
113     H2= odeint(model2, T0, t) #Temperature de la tranche du sol
114     print(H2)
115     plot(x,y)
116     PP1.append(x)
117     PP2.append(y)
118     b = int(x[-1]/.1)
119     mtot += m(tatt)
120     if b>= 0 and b<1000 :
121         M[b][1] += 1
122         if H2[-1][0] > Tig :
123             M[b][2] +=1
124     print(H2[-1][0])
125
126     #Plotting
127     plot(x,y)
128     axis([0,6,0,50])
129     grid(False)
130     xlabel('Longueur')
131     ylabel('Hauteur')
132     print(M)
133     show()
134     Mu = [M[i][0] for i in range(100)] #positions d'atterrissage
135     Su = [M[i][1] for i in range(100)] #nombre de brandons atterris
136     Tu = [M[i][2] for i in range(100)] #nombre de brandons enflammés
137     plot(Mu,Tu,linestyle = '-', marker = 'o')
138     xlabel('Longueur (m)')
139     ylabel('Nombre de brandons')
140     legend(['atterris', 'enflammés'],loc='upper left')
141     show()
```

Annexe

simulation des résultats expérimentaux

```
1  from scipy.integrate import odeint
2  from pylab import *
3  from random import *
4  #constantes
5  g = 9.8 #acceleration de la pesanteur
6  f = 0.0001 #taux de combustion
7  p = 1.225 #masse volumique de l'air
8  T0 = 300 #Temperature ambiante
9  Cp = 1400 #capacite thermique massique du papier
10 s = 5.67*10**(-8) #constante de steffan boltzmann
11 e = 0.9 #émissivité
12 h = 5 #coefficient de transfert thermique
13 r = 1200 #masse volumique du papier
14
15 M = [[i,0,0] for i in range(25)] #data
16 for l in range(50):
17     #masse initiale
18     MM=[.00005,0.0001,0.00015,0.0002,0.00025,0.0003,0.00035]
19     mrand= randrange(6)
20     m0=MM[mrand]
21     #altitude initiale
22     z0 = 0.3+expovariate(11.5)
23     #Forme
24     F0 = 1
25     #profile du vent
26     def wind(y):
27         if abs(y-0.35)<= 0.1 :
28             return wxref
29         return 0
30     #position initiale
```

Annexe

simulation des résultats expérimentaux

```
37 vy=[v0[1]]
38 w=[wind(p0[1]),wyref]
39 #masse du brandon
40 K1 = f*(4*pi*r)**(1/3)*(3**(-1/3))
41 K2 = f*m0**(2/3)*(r*pi/100)**(1/3)
42 def m(t):
43     return (m0-K2*t)*(1-F0)+(m0**(1/3)-K1*t)**(1/3)*F0
44 def dm(t):
45     return -K2*(1-F0)-K1*F0*(m0**(1/3)-K1*t)**2
46 A0 = (pi/5*((100*m0)/(pi*r))**(2/3))*(1-F0)+4*pi*((3*m0)/(4*pi*r))**(2/3)*(F0)
47 #surface du brandon
48 def A(t):
49     return A0*(m(t)/m0)*(1-F0)+F0*A0*(m(t)/m0)**(2/3)
50 #coefficient de trainee
51 Cd = 0.49*F0+0.32*(1-F0)
52 #Resolution de l'equation differentielle du mouvement
53 def fx(x,y,t):
54     return 1/m(t)*(-dm(t)*x-(0.5*p*Cd*A(t))*((x-w[0]+v_f)**2+(y-w[1])**2)**0.5)*(x-w[0]+v_f)
55 def fy(x,y,t):
56     return 1/m(t)*(-dm(t)*y-m(t)*g-(0.5*p*Cd*A(t))*((x-w[0]+v_f)**2+(y-w[1])**2)**0.5*(y-w[1]))
57 for i in range(0,1000):
58     t=linspace(0.1*i,0.1*(i+1),100)
59     vx1=vx[len(vx)-1]
60     vy1=vy[len(vy)-1]
61     for j in range(1,len(t)):
62         if m(t[j]) <= 0.00001 :
63             break
64         a=(t[j]-t[j-1])*(fx(vx1,vy1,t[j]))+vx1
65         b=(t[j]-t[j-1])*(fy(vx1,vy1,t[j]))+vy1
66         vx.append(a)
67         vy.append(b)
68         c=x[len(x)-1]+a*(t[j]-t[j-1])+0.5*fx(vx1,vy1,t[j])*((t[j]-t[j-1])**2)
69         d=y[len(y)-1]+b*(t[j]-t[j-1])+0.5*fy(vx1,vy1,t[j])*((t[j]-t[j-1])**2)
70         if d<0:
71             tt=t[j]
72             break
```

Annexe

simulation des résultats expérimentaux

```
73         x.append(c)
74         y.append(d)
75         vxi=a
76         vyi=b
77         if m(t[j]) <= 0.00001 :
78             break
79         if d<0:
80             tatt=t[j]
81             break
82         w[0]=wind(y[len(y)-1])
83     Bb= [tatt,x[-1]] #temps et abscisse d'atterrissage
84     #Resolution des equation differentielles thermodynamiques
85     def model(T,t):
86         dTdt = -(A(t)/(m(t)*Cp))*(s*e**(T**4-T0**4)+h*(T-T0))
87         return dTdt
88     t = linspace(0,20,20000)
89     Ti=1500 #Temperature du brandon initiale
90     #Temperature du brandon
91     H =odeint(model,Ti,t)
92
93     msol=1
94     csol = 1400 #sol du papier
95     def Tdebris(t):
96         n= int(t/0.002)
97         return H[n][0]
98     Tdebrislist=[Tdebris(1) for l in t[:9001]]
99
100     def model2(Ts,t):
101         dTsdT= A(t+tatt)/(msol*csol*5)*(s*e**(Tdebris(t+tatt)**4-T0**4)+h*(Tdebris(t+tatt)-T0))
102         return dTsdT
103     #Temperature du sol
104     H2= odeint(model2, T0, t)
105
106     print(Bb)
107     plot(x,y)
108     b = int(x[-1]/.05)
109     mtot += m(tatt)
```

Annexe

simulation des résultats expérimentaux

```
110     if b>= 0 and b<1000 :
111         M[b][1] += 1
112         if H2[-1][0] > 600 :
113             M[b][2] +=1
114         print(H2[-1][0])
115
116 #Plotting
117 axis([0,1,0,1])
118 xlabel('Longueur')
119 ylabel('Hauteur')
120 print(M)
121 show()
122 Mu = [M[i][0]*0.05 for i in range(len(M))] #positions d'atterrissage
123 Su = [M[i][1] for i in range(len(M))]      #nombre de brandons atterris
124 Tu = [M[i][2] for i in range(len(M))]     #nombre de brandons enflammes
125 plot(Mu,Su,linestyle = '--', marker = 'o')
126 plot(Mu,Tu,linestyle = '--', marker = 'o')
127 xlabel('Longueur (m)')
128 ylabel('Nombre de brandons')
129 legend(['Atterrissage','Ignition'],loc='upper right')
130 show()
131
132
```

Annexe

Curve fitting

```
1 import numpy as np
2 from scipy.optimize import curve_fit
3 from matplotlib import pyplot
4 #meilleur approximation de la forme
5 def objective(t, a, b, c):
6     return a*t**int(abs(c)) * np.exp(-b * t)
7
8 # les donnees
9 y0 = [[0.05, 0, 0], [0.15000000000000002, 0, 0], [0.25, 0, 0], [0.35000000000000003, 2, 2], [0.45, 0, 0]]
10 y=[y0[i][1] for i in range(len(y0))]
11 x= [0.1*i+0.05 for i in range(len(y))]
12
13 # curve fit
14 popt, _ = curve_fit(objective, x, y, maxfev=5000)
15 # summarize the parameter values
16 a, b, c = popt
17 print(popt)
18 # plot input vs output
19 pyplot.plot(x,y,linestyle='-',color='b',marker='.',label='donnees')
20 x_line = np.arange(min(x), max(x), 1)
21 y_line = objective(x_line, a, b, c)
22 # create a line plot for the mapping function
23 G = [objective(t,a,b,c) for t in x ]
24 pyplot.plot(x,G,linestyle='--',color='red',label='courbe de meilleur approximation')
25 pyplot.xlabel('Longueur (m)')
26 pyplot.ylabel('Densité de probabilité')
27 pyplot.legend()
28 pyplot.show()
29
```